

УДК 66.048.375

В. Н. Павлечко, И. М. Плехов, В. Н. Гуляев

## О ВЗАИМОСВЯЗИ КИНЕТИЧЕСКИХ ПОКАЗАТЕЛЕЙ ПРОЦЕССА РЕКТИФИКАЦИИ И ДВИЖУЩИХ СИЛ

Получены обобщенные зависимости высот единиц переноса идеальной и реальной ступеней, выраженные параметрами реальной тарелки в паровой и жидкой фазах. Приведены частные зависимости высот единиц переноса, эквивалентных теоретической тарелке, выраженные параметрами реальной тарелки в паровой фазе, для четырех вариантов взаимосвязи идеальной и реальной тарелок, два из которых характерны для модели Мерффри при анализе эффективности в паровой и жидкой фазах, один – для модели Хаузена. Отношение высот идеальной и реальной тарелок во всех вариантах равно эффективности. Отмечено, что выражения средних движущих сил, коэффициентов массопередачи и чисел единиц переноса индивидуальны для каждого варианта и формы организации движения фаз, но в обобщенном виде передаются известными зависимостями.

При расчетах процессов ректификации важными показателями являются высота единиц переноса  $H$ , коэффициент массопередачи  $K$  и число единиц переноса  $N$  [1, 2]. Два первых отражают кинетику процесса, если движущая сила выражена соответственно через  $N$  и разность концентраций.

Рабочая высота ступени контакта, соответствующая его реальной ступени, может быть выражена параметрами паровой и жидкой фаз

$$H' = \frac{V(y_n - y_{n-1})}{K_v a S \Delta y_{cp}}, \quad (1)$$

$$H' = \frac{L(x_n - x_{n-1})}{K_{liq} a S \Delta x_{cp}}. \quad (2)$$

В работе [3] проведен анализ выражений движущей силы для различных форм организации потоков взаимодействующих фаз для четырех вариантов взаимосвязи идеальной и реальной ступени контакта. Первый вариант отличается равенством составов пара, поступающего на обе ступени, и жидкости, уходящей с них. Эти условия характерны для модели Мерффри [4, 5] при анализе эффективности в паровой фазе. Во втором варианте совпадают составы пара, выходящего из идеальной и реальной ступеней, и жидкости, поступающей на них, что свойственно модели Мерффри при анализе эффективности в жидкости [4, 5]. Третий вариант отличается равенством составов пара и жидкости, поступающих на идеальную и действительную ступени контакта, что характеризует модель Хаузена [5, 6]. В четвертом варианте совпадают составы пара и жидкости, уходящих с идеальной и реальной ступеней. В частности, при прямотоке и условиях связи идеальной и реальной тарелок, соответствующих модели Мерффри при анализе эффективности массообмена в паровой фазе, средние движущие силы, выраженные параметрами паровой и жидкой фаз, соответственно равны

$$\Delta y_{n1cp} = \frac{mx_n - y_{n-1} - mx_{n-1} + y_n}{\ln \frac{mx_n - y_{n-1}}{mx_{n-1} - y_n}} = \frac{\left(1 + \frac{mV}{L}\right)(y_n - y_{n-1})}{\ln \frac{1 + \frac{mV}{L} E_{n1}}{1 - E_{n1}}}, \quad (3)$$

$$\Delta x_{n1cp} = \frac{x_n - \frac{y_{n-1}}{m} - x_{n-1} + \frac{y_n}{m}}{\ln \frac{x_n - \frac{y_{n-1}}{m}}{x_{n-1} - \frac{y_n}{m}}} = \frac{\left(\frac{L}{mV} + 1\right)(x_n - x_{n-1})}{\ln \frac{1 + \frac{mV}{L} E_{n1}}{1 - E_{n1}}}. \quad (4)$$

Аналогичные зависимости найдены и в других вариантах массопередачи для всех форм организации потоков (табл. 1). Отсутствие значений средних движущих сил в четвертом варианте при прямотоке и во втором варианте при противотоке в этой и других таблицах обусловлено тем, что в этих моделях эффективность равна единице.

Белорусский государственный технологический университет, г. Минск. Поступила 14.06.2000, в окончательной редакции – 20.11.2000.

Т а б л и ц а 1. Величины средних движущих сил, выраженные параметрами жидкой и паровой фаз

Средние движущие силы	Варианты массообмена			
	1	2	3	4
<i>Прямоток</i>				
$\Delta x_{n,ср}$	$\Delta x_{n1ср} = \frac{\left(\frac{L}{mV} + 1\right)(x_n - x_{n-1})}{\ln \frac{1 + \frac{mV}{L} E_{n1}}{1 - E_{n1}}}$	$\Delta x_{n2ср} = \frac{\left(\frac{L}{mV} + 1\right)(x_n - x_{n-1})}{\ln \frac{1 + \frac{L}{mV} E_{n2}}{1 - E_{n2}}}$	$\Delta x_{n3ср} = \frac{\left(\frac{L}{mV} + 1\right)(x_n - x_{n-1})}{\ln \frac{1}{1 - E_{n3}}}$	-
$\Delta y_{n,ср}$	$\Delta y_{n1ср} = \frac{\left(1 + \frac{mV}{L}\right)(y_n - y_{n-1})}{\ln \frac{1 + \frac{mV}{L} E_{n1}}{1 - E_{n1}}}$	$\Delta y_{n2ср} = \frac{\left(1 + \frac{mV}{L}\right)(y_n - y_{n-1})}{\ln \frac{1 + \frac{L}{mV} E_{n2}}{1 - E_{n2}}}$	$\Delta y_{n3ср} = \frac{\left(1 + \frac{mV}{L}\right)(y_n - y_{n-1})}{\ln \frac{1}{1 - E_{n3}}}$	-
<i>Противоток</i>				
$\Delta x_{g,ср}$	$\Delta x_{g1ср} = \frac{\left(\frac{L}{mV} - 1\right)(x_n - x_{n-1})}{\ln \frac{1}{1 - E_{g1}}}$	-	$\Delta x_{g3ср} = \frac{\left(\frac{L}{mV} - 1\right)(x_n - x_{n-1})}{\ln \frac{1 - \frac{mV}{L} E_{g3}}{1 - E_{g3}}}$	$\Delta x_{g4ср} = \frac{\left(\frac{L}{mV} - 1\right)(x_n - x_{n-1})}{\ln \frac{1 - \frac{L}{mV} E_{g4}}{1 - E_{g4}}}$
$\Delta y_{g,ср}$	$\Delta y_{g1ср} = \frac{\left(1 - \frac{mV}{L}\right)(y_n - y_{n-1})}{\ln \frac{1}{1 - E_{g1}}}$	-	$\Delta y_{g3ср} = \frac{\left(1 - \frac{mV}{L}\right)(y_n - y_{n-1})}{\ln \frac{1 - \frac{mV}{L} E_{g3}}{1 - E_{g3}}}$	$\Delta y_{g4ср} = \frac{\left(1 - \frac{mV}{L}\right)(y_n - y_{n-1})}{\ln \frac{1 - \frac{L}{mV} E_{g4}}{1 - E_{g4}}}$
<i>Перекрестный ток</i>				
$\Delta x_{k,ср}$	$\Delta x_{k1ср} = \frac{\frac{L}{mV}(x_n - x_{n-1})}{\ln \frac{\frac{2L}{mV} - 1 + E_{k1}}{\left(\frac{2L}{mV} - 1\right)(1 - E_{k1})}}$	$\Delta x_{k2ср} = \frac{\frac{L}{mV}(x_n - x_{n-1})}{\ln \frac{\frac{2L}{mV} E_{k2} + 1 - E_{k2}}{1 - E_{k2}}}$	$\Delta x_{k3ср} = \frac{\frac{L}{mV}(x_n - x_{n-1})}{\ln \frac{\frac{2L}{mV} + 1 - E_{k3}}{\left(\frac{2L}{mV} + 1\right)(1 - E_{k3})}}$	$\Delta x_{k4ср} = \frac{\frac{L}{mV}(x_n - x_{n-1})}{\ln \frac{1 - E_{k4} - \frac{2L}{mV} E_{k4}}{1 - E_{k4}}}$
$\Delta y_{k,ср}$	$\Delta y_{k1ср} = \frac{y_n - y_{n-1}}{\ln \frac{\frac{2L}{mV} - 1 + E_{k1}}{\left(\frac{2L}{mV} - 1\right)(1 - E_{k1})}}$	$\Delta y_{k2ср} = \frac{y_n - y_{n-1}}{\ln \frac{\frac{2L}{mV} E_{k2} + 1 - E_{k2}}{1 - E_{k2}}}$	$\Delta y_{k3ср} = \frac{y_n - y_{n-1}}{\ln \frac{\frac{2L}{mV} + 1 - E_{k3}}{\left(\frac{2L}{mV} + 1\right)(1 - E_{k3})}}$	$\Delta y_{k4ср} = \frac{y_n - y_{n-1}}{\ln \frac{1 - E_{k4} - \frac{2L}{mV} E_{k4}}{1 - E_{k4}}}$

Подставляя (3) в (1) и (4) в (2), соответственно получим

$$H' = \frac{V \ln \frac{1 + \frac{mV}{L} E_{n1}}{1 - E_{n1}}}{K_{v,a} S \left(1 + \frac{mV}{L}\right)} \quad (5)$$

$$H' = \frac{L \ln \frac{1 + \frac{mV}{L} E_{n1}}{1 - E_{n1}}}{K_{liq,a} S \left(1 + \frac{mV}{L}\right)} \quad (6)$$

Подобные выражения могут быть найдены также во всех вариантах массопередачи и для всех форм организации потоков.

С приближением эффективности к единице в полученных выражениях знаменатель числа логарифма стремится к нулю, а значение логарифма и соответственно высота идеальной ступени – к бесконечности, поскольку разность концентраций по легколетучему компоненту после идеальной ступени приближается к нулю и определение среднего логарифмического значения движущей силы затруднено. Поэтому формулы

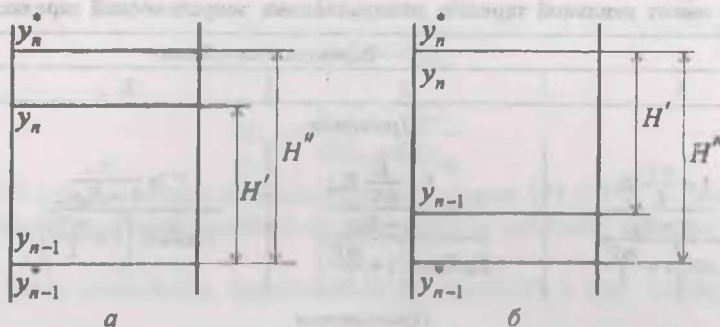


Рис. 1. Концентрации легколетучего компонента в паровой фазе в первом, третьем (а), втором и четвертом (б) вариантах

(5) и (6) могут быть использованы только для определения высоты действительной ступени и непригодны для вычислений высоты идеальной ступени.

На рис. 1 и 2 представлены концентрации легколетучего компонента в паровой фазе и жидкости, а также соответствующие высоты ступеней контакта. Как видно из рисунков, высота  $H'$  пропорциональна разности  $(y_n - y_{n-1})$  и  $(x_n - x_{n-1})$ , а высота  $H'' - (y_n^* - y_{n-1}^*)$  и  $(x_n^* - x_{n-1}^*)$ . С учетом вариантов взаимосвязи идеальной и реальной ступеней указанные пропорциональности несколько видоизменяются.

В работах [7-9] проведен анализ моделей эффективности ступеней контакта при прямоточном, противоточном и перекрестном движении паровой и жидкой фаз с учетом особенностей взаимосвязи идеальной и реальной ступеней. Из результатов этих работ во всех вариантах и для всех форм организации потоков можно получить следующие выражения:

$$y_n^* - y_{n-1}^* = \frac{y_n - y_{n-1}}{E} \quad (7)$$

$$x_n^* - x_{n-1}^* = \frac{x_n - x_{n-1}}{E} \quad (8)$$

которые также видоизменяются в зависимости от индивидуальных особенностей вариантов.

С учетом (7) и (8) высоту  $H''$  для прямотока в первом варианте взаимосвязи идеальной и реальной ступеней контакта представим как

$$H'' = \frac{H'}{E_{n1}} = \frac{V \ln \frac{1 + \frac{mV}{L} E_{n1}}{1 - E_{n1}}}{E_{n1} K_v a S \left( 1 + \frac{mV}{L} \right)} \quad (9)$$

$$H'' = \frac{H'}{E_{n1}} = \frac{L \ln \frac{1 + \frac{mV}{L} E_{n1}}{1 - E_{n1}}}{E_{n1} K_{liq} a S \left( 1 + \frac{mV}{L} \right)} \quad (10)$$

Аналогичные выражения выводятся для других вариантов и форм организации потоков. Они позволяют определить высоту теоретической тарелки по параметрам действительной тарелки. Как и формулы (5) и (6), они мало пригодны при значениях эффективности, равных единице.

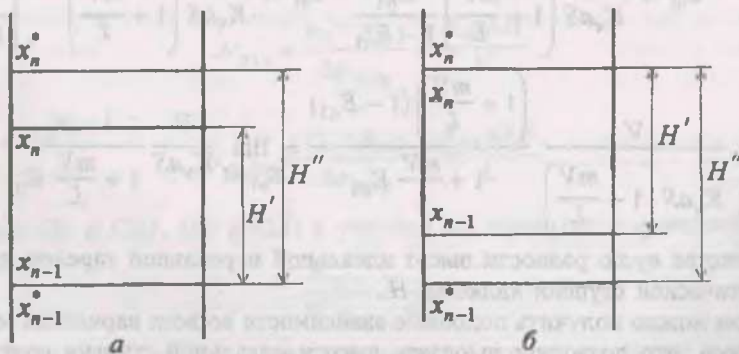


Рис. 2. Концентрации легколетучего компонента в жидкости в первом, четвертом (а), втором и третьем (б) вариантах

Т а б л и ц а 2. Значения высот реальной тарелки, эквивалентных теоретической тарелке

Высота реальной тарелки	Варианты массообмена			
	1	2	3	4
	<i>Прямоток</i>			
(ВЭТТ) <sub>п</sub>	$\frac{V \ln \frac{1 + \frac{mV}{L} E_{n1}}{1 - E_{n1}}}{E_{n1} K_v a S \left(1 + \frac{mV}{L}\right)}$	$\frac{V \ln \frac{1 + \frac{L}{mV} E_{n2}}{1 - E_{n2}}}{E_{n2} K_v a S \left(1 + \frac{mV}{L}\right)}$	$\frac{V \ln \frac{1}{1 - E_{n3}}}{E_{n3} K_v a S \left(1 + \frac{mV}{L}\right)}$	-
	<i>Противоток</i>			
(ВЭТТ) <sub>г</sub>	$\frac{V \ln \frac{1}{1 - E_{g1}}}{E_{g1} K_v a S \left(1 - \frac{mV}{L}\right)}$	-	$\frac{V \ln \frac{1 - \frac{mV}{L} E_{g3}}{1 - E_{g3}}}{E_{g3} K_v a S \left(1 - \frac{mV}{L}\right)}$	$\frac{V \ln \frac{1 - \frac{L}{mV} E_{g4}}{1 - E_{g4}}}{E_{g4} K_v a S \left(1 - \frac{mV}{L}\right)}$
	<i>Перекрестный ток</i>			
(ВЭТТ) <sub>к</sub>	$\frac{V \ln \frac{\frac{2L}{mV} - 1 + E_{k1}}{\left(\frac{2L}{mV} - 1\right)(1 - E_{k1})}}{E_{k1} K_v a S}$	$\frac{V \ln \frac{\frac{2L}{mV} E_{k2} + 1 - E_{k2}}{1 - E_{k2}}}{E_{k2} K_v a S}$	$\frac{V \ln \frac{\frac{2L}{mV} + 1 - E_{k3}}{\left(\frac{2L}{mV} + 1\right)(1 - E_{k3})}}{E_{k3} K_v a S}$	$\frac{V \ln \frac{1 - E_{k4} - \frac{2L}{mV} E_{k4}}{1 - E_{k4}}}{E_{k4} K_v a S}$

Поскольку на ступени контакта высотой  $H''$  достигаются такие же концентрации легколетучего компонента, как и в идеальных условиях,  $H''$  является высотой реальной ступени, эквивалентной теоретической тарелке (ВЭТТ), т. е.

$$\text{ВЭТТ} = H'' \quad (11)$$

Высота теоретической тарелки должна быть меньше ВЭТТ из-за более высокой интенсивности процессов массообмена. Она может выражаться формулами (9) и (10), в которых эффективность равна единице. Однако, как отмечалось выше, при такой эффективности значение высоты не конкретизируется.

Определим разность высот

$$H'' - H' = H' \frac{1 - E_{n1}}{E_{n1}} = \frac{V \ln \frac{1 + \frac{mV}{L} E_{n1}}{1 - E_{n1}}}{K_v a S \left(1 + \frac{mV}{L}\right) \frac{E_{n1}}{1 - E_{n1}}} \quad (12)$$

Поскольку выражение (12) представляет собой неопределенность, для ее раскрытия разыщем предел, следуя правилу Лопиталья и взяв производные числителя и знаменателя:

$$\begin{aligned} \lim_{E_{n1} \rightarrow 1} (H'' - H') &= \lim_{E_{n1} \rightarrow 1} \frac{V \ln \frac{1 + \frac{mV}{L} E_{n1}}{1 - E_{n1}}}{K_v a S \left(1 + \frac{mV}{L}\right) \frac{E_{n1}}{1 - E_{n1}}} = \lim_{E_{n1} \rightarrow 1} \frac{V}{K_v a S \left(1 + \frac{mV}{L}\right)} \frac{\left(\ln \frac{1 + \frac{mV}{L} E_{n1}}{1 - E_{n1}}\right)'}{\left(\frac{E_{n1}}{1 - E_{n1}}\right)'} \\ &= \lim_{E_{n1} \rightarrow 1} \frac{V}{K_v a S \left(1 + \frac{mV}{L}\right)} \frac{\left(1 + \frac{mV}{L}\right) (1 - E_{n1})}{1 + \frac{mV}{L} E_{n1}} = \lim_{E_{n1} \rightarrow 1} \frac{V}{K_v a S} \frac{1 - E_{n1}}{1 + \frac{mV}{L} E_{n1}} = 0. \end{aligned}$$

Доказательство равенства нулю разности высот идеальной и реальной тарелок при  $E_{n1} \rightarrow 1$  подтверждает, что высотой теоретической ступени является  $H$ .

Аналогичным образом можно получить подобные зависимости во всех вариантах массопередачи для всех форм организации потоков, что позволяет выразить высоту идеальной ступени соответствующими зависимостями (табл. 2) и в обобщенном виде представить ее формулами

$$H_{г.г} = \frac{V(y_n - y_{n-1})}{EK_v a S \Delta y_{ср}} \quad (13)$$

$$H_{г.г} = \frac{L(x_n - x_{n-1})}{EK_{лиq} a S \Delta x_{ср}} \quad (14)$$

Таким образом, ВЭТТ при прямотоке определяется формулами (9) и (10), а высота идеальной ступени – (5) и (6). Они применимы при подстановке в них параметров реальной ступени контакта паровой фазы и жидкости.

Количество легколетучего компонента, переходящего из жидкости в пар, выражается [1, 2] через параметры паровой фазы

$$M = K_v a S H \Delta y_{ср} \quad (15)$$

или параметры жидкости

$$M = K_{лиq} a S H \Delta x_{ср} \quad (16)$$

Приравнивая формулы (15) и (16), можно получить соотношение

$$K_v \Delta y_{ср} = K_{лиq} \Delta x_{ср} \quad (17)$$

Для прямотока при условии связи идеальной и реальной тарелок, соответствующих модели Мерффи при анализе эффективности в паровой фазе, средние движущие силы, выраженные параметрами паровой и жидкой фаз, определяются формулами (3) и (4).

Делением левых и правых частей (3) и (4) получим зависимость

$$\frac{\Delta y_{п1ср}}{\Delta x_{п1ср}} = m \quad (18)$$

которая в обобщенном виде во всех вариантах массопередачи для всех форм организации потоков представляется так:

$$\frac{\Delta y_{ср}}{\Delta x_{ср}} = m \quad (19)$$

При подстановке (19) в (17) получим соотношение коэффициентов массопередачи, выраженных посредством концентраций легколетучего компонента в паровой и жидкой фазах:

$$K_{лиq} = m K_v \quad (20)$$

Соотношения, аналогичные (19) и (20), могут быть выведены в других формах организации потоков во всех вариантах массообмена. Они соответствуют известным зависимостям [1, 2], что подтверждает справедливость данных табл. 1.

Таким образом, отношение средних движущих сил в паровой фазе и жидкости пропорционально коэффициенту равновесия, а коэффициентов массопередачи в паре и жидкости – обратно пропорционально этой величине.

Исходя из уравнения материального баланса по легколетучему компоненту, его количество, переходящее из жидкости в пар, равно

$$M = V(y_n - y_{n-1}) = L(x_n - x_{n-1}) \quad (21)$$

Числа единиц переноса  $N_v$  и  $N_{лиq}$  представляют собой результат совместного решения уравнений равновесия и рабочей линии процесса, задаваемой начальными и конечными концентрациями [2]. Эти числа, выраженные параметрами паровой и жидкой фаз, в первом варианте при прямотоке определяются соответствующими зависимостями

$$N_{п1v} = \frac{y_n - y_{n-1}}{\Delta y_{п1ср}} = \frac{K_v a S H}{V} \quad (22)$$

$$N_{п1лиq} = \frac{x_n - x_{n-1}}{\Delta x_{п1ср}} = \frac{K_{лиq} a S H}{L} \quad (23)$$

Совместное решение (3) и (22), (4) и (23) с учетом (21) приводит к известной формуле

$$\frac{N_{п1v}}{N_{п1лиq}} = \frac{L}{mV} \quad (24)$$

Зависимости, аналогичные (22)–(24), также получаются в других вариантах для всех форм организации потоков фаз и в обобщенном виде представляются соотношениями

Таблица 3. Выражения чисел единиц переноса

Числа единиц переноса $N$	Варианты массообмена			
	1	2	3	4
<i>Прямоток</i>				
$N_{n,v}$	$\frac{1 + \frac{mV}{L} E_{n1}}{\ln \frac{1 - E_{n1}}{1 + \frac{mV}{L}}}$	$\frac{1 + \frac{L}{mV} E_{n2}}{\ln \frac{1 - E_{n2}}{1 + \frac{mV}{L}}}$	$\frac{\ln \frac{1}{1 - E_{n3}}}{1 + \frac{mV}{L}}$	
<i>Противоток</i>				
$N_{g,v}$	$\frac{\ln \frac{1}{1 - E_{g1}}}{1 - \frac{mV}{L}}$		$\frac{1 - \frac{mV}{L} E_{g3}}{\ln \frac{1 - E_{g3}}{1 - \frac{mV}{L}}}$	$\frac{1 - \frac{L}{mV} E_{g4}}{\ln \frac{1 - E_{g4}}{1 - \frac{mV}{L}}}$
<i>Перекрестный ток</i>				
$N_{k,v}$	$\ln \frac{\frac{2L}{mV} - 1 + E_{k1}}{\left(\frac{2L}{mV} - 1\right)(1 - E_{k1})}$	$\ln \frac{\frac{2L}{mV} E_{k2} + 1 - E_{k2}}{1 - E_{k2}}$	$\ln \frac{\frac{2L}{mV} + 1 - E_{k3}}{\left(\frac{2L}{mV} + 1\right)(1 - E_{k3})}$	$\ln \frac{1 - E_{k4} - \frac{2L}{mV} E_{k4}}{1 - E_{k4}}$

$$N_v = \frac{y_n - y_{n-1}}{\Delta y_{cp}} \quad (25)$$

$$N_{liq} = \frac{x_n - x_{n-1}}{\Delta x_{cp}} \quad (26)$$

$$\frac{N_v}{N_{liq}} = \frac{L}{mV} \quad (27)$$

Некоторые частные зависимости чисел единиц переноса приведены в табл. 3.

Следует отметить, что значения средних движущих сил, выраженные через разность концентраций, значения чисел единиц переноса и коэффициентов массопередачи справедливы только в пределах индивидуальных вариантов и форм организации потоков, т. е. параметры, полученные, например, для первого варианта взаимосвязи идеальной и реальной тарелок при прямотоке, пригодны только для этих условий и отличаются от соответствующих величин, полученных при других условиях. Однако их отношения в соответствии с формулами (19), (20) и (27) остаются неизменными для любых случаев.

#### Обозначения

$a$  – удельная поверхность контакта фаз, приходящаяся на единицу объема тарелки,  $m^2/m^3$ ;  $E$  – эффективность тарелки;  $H$  – высота тарелки, м;  $K$  – коэффициент массопередачи, моль/( $m^2 \cdot c \cdot mоль/m^3$ );  $L$  – молярный поток жидкости, моль/с;  $m$  – коэффициент равновесия;  $M$  – количество вещества, переходящего из жидкости в пар, моль/с;  $N$  – число единиц переноса;  $S$  – поверхность тарелки,  $m^2$ ;  $V$  – молярный поток паровой фазы, моль/с;  $x$ ,  $y$  – соответственно концентрация легколетучего компонента в жидкости и паре, моль/ $m^3$ . Индексы: g – противоток; k – перекрестный ток; liq – жидкая фаза; n – номер рассматриваемой тарелки; n-1 – номер предыдущей тарелки по ходу движения пара; p – прямоток; ср – среднее значение; т.т. – теоретическая (идеальная) тарелка; v – паровая фаза; 1-4 – номера рассматриваемых вариантов; ' – теоретическая тарелка; '' – действительная тарелка, эквивалентная теоретической; \* – идеальные условия.

#### Литература

1. Касаткин А. Г. Основные процессы и аппараты химической технологии. М., 1971. С. 438-448.
2. Кафаров В. В. Основы массопередачи. М., 1972. С. 217-230.
3. Павлечко В. Н., Плехов И. М. //Тр. БГТУ. Сер. 3. Химия и технология неорганических веществ. 2000. Вып. 8. С. 276-282.
4. Murohree E. V. //Ind. Eng. Chem. 1925. Vol. 17, No. 7. P. 747-750.
5. Medina A. G., Ashton N., McDermott C. //Chem. Eng. Sci. 1979. Vol. 34, No. 9. P. 1105-1112.
6. Hausen H. //Chem. Ing. Tech. 1953. Bd. 25, No. 10. S. 595-597.
7. Павлечко В. Н. //Тр. БГТУ. Сер. 3. Химия и химическая технология. 1998. Вып. 6. С. 131-138.
8. Павлечко В. Н. //Тр. БГТУ. Сер. 3. Химия и химическая технология. 1998. Вып. 6. С. 138-144.
9. Павлечко В. Н. //ИФЖ. 1999. Т. 72, № 4. С. 764-770.